

DOI:10.61818/02910607

ISSN: 2965-0291



Boletim de monitoramento climático de grandes bacias hidrográficas: Bacia Amazônica

Volume 6, Número 07

Manaus, 18 de fevereiro de 2026



MINISTÉRIO DA
CIÊNCIA, TECNOLOGIA
E INOVAÇÃO



Boletim de monitoramento climático de grandes bacias hidrográficas: Bacia Amazônica

Editor Chefe Renato Cruz Senna

Meteorologista

Pesquisador - CODAM, INPA

Editoração Renato Cruz Senna

Tainá Sampaio Xavier Conchy Rocha

Adriano Nobre Arcos

Periodicidade Semanal

Revisão e Diagramação Inácio de Oliveira Lima Neto

Contato Instituto Nacional de Pesquisas da Amazônia - INPA

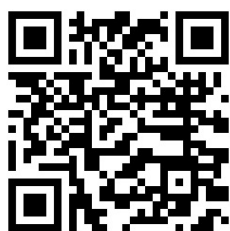
Av. André Araújo, 2.936 - Petrópolis

CEP 69067-375 - Manaus -AM, Brasil

E-mail: renato.senna@inpa.gov.br

clima.amazonia@inpa.gov.br

Telefone: (92) 3643 3154 / 3643-3170



www.instagram.com/clima.amazonia

Esta pesquisa foi apoiada como parte do Programa de Grande Escala da Biosfera-Atmosfera na Amazônia (LBA), coordenado pelo Instituto Nacional de Pesquisas da Amazônia (INPA), financiado pelo Ministério da Ciência, Tecnologia e Inovação (MCTI) entidade da administração direta do Governo Federal Brasileiro.



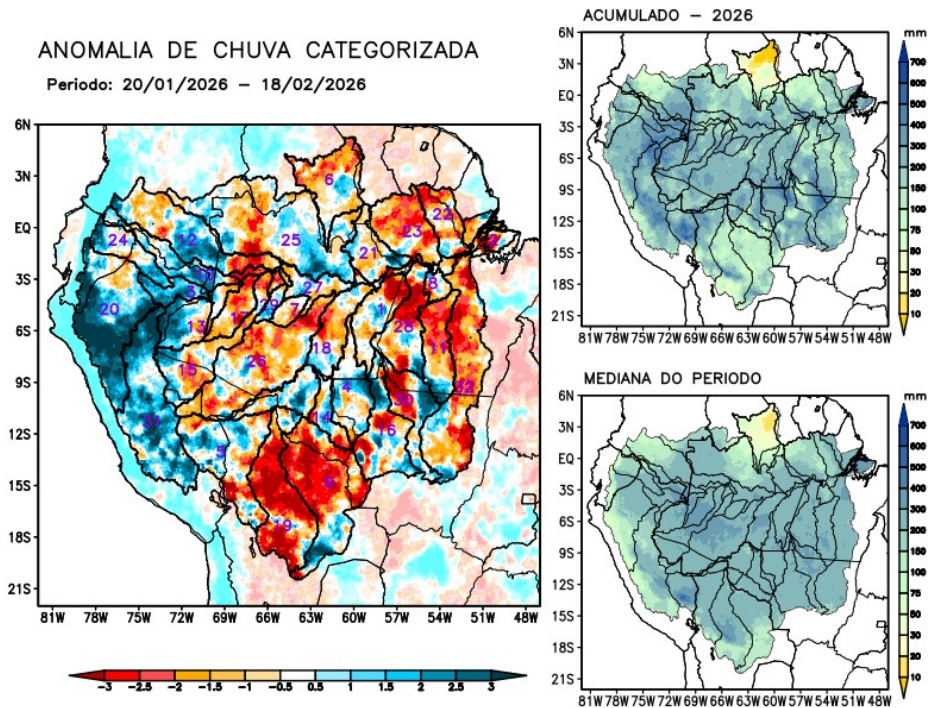
Esta obra está licenciada com uma Licença Creative Commons Atribuição - Não Comercial - Sem Derivações 4.0 Internacional.

Índice

| | |
|---|-----------|
| Condições atuais | 1 |
| Bacia do Rio Branco | 2 |
| Bacia do Rio Negro | 2 |
| Bacia do Rio Marañon | 2 |
| Bacia do Rio Ucayali | 3 |
| Bacia do Rio Napo | 3 |
| Curso principal do Rio Amazonas (Peru) | 3 |
| Bacia do Rio Javari | 4 |
| Bacia do Rio Içá | 4 |
| Bacia do Rio Jutai | 4 |
| Bacia do Rio Juruá | 5 |
| Bacia do Rio Japurá | 5 |
| Bacia do Rio Tefé | 5 |
| Bacia do Rio Coari | 6 |
| Bacia do Rio Purus | 6 |
| Curso principal do Rio Solimões | 6 |
| Bacia do Rio Beni | 7 |
| Bacia do Rio Mamoré | 7 |
| Bacia do Rio Guaporé | 7 |
| Bacia do Rio Ji-Paraná | 8 |
| Bacia do Rio Aripuanã | 8 |
| Bacia do Rio Madeira | 8 |
| Bacias da margem esquerda do Rio Amazonas (Amazonas) | 9 |
| Bacia do Rio Abacaxis | 9 |
| Bacia do Rio Juruena | 9 |
| Bacia do Rio Teles Pires | 10 |
| Bacia do Rio Tapajós | 10 |
| Bacias da margem esquerda do Rio Amazonas (noroeste do Pará) | 10 |
| Bacia do Rio Curuá Una | 11 |
| Bacias da margem esquerda do Rio Amazonas (nordeste do Pará) | 11 |
| Bacia do Rio Iriri | 11 |
| Bacia do Rio Xingu | 12 |
| Curso principal do Rio Amazonas (Brasil) | 12 |
| Previsão multimodelo subsazonal | 13 |
| Valores de referência | 15 |
| Categorização das anomalias de precipitação | 16 |
| Comportamento semanal das anomalias (gráficos auxiliares) | 17 |
| Diagrama unifilar das bacias representadas | 20 |

Condições atuais

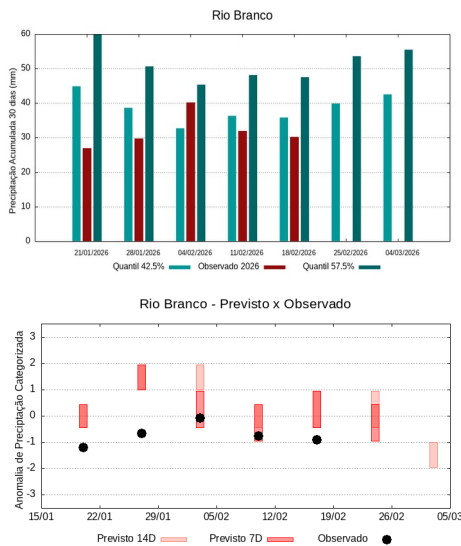
Mapas das condições observadas de precipitação e gráficos individuais por bacias são produzidos a partir dos dados MERGE/GPM gerados pelo INPE/CPTEC, considerando como climatologia para período de 2000 a 2025. **Entre os dias 20 de janeiro e 18 de fevereiro de 2026, chuvas abaixo da climatologia caracterizaram com déficit de precipitação o curso principal do Rio Amazonas em território brasileiro, bacias hidrográficas dos rios Abacaxis, Branco, Coari, Curuá Una, Guaporé, Iriri, Jutai, Mamoré, bacias da margem esquerda do Rio Amazonas no nordeste e no noroeste do Estado do Pará, Purus, Tapajós, Xingu e o curso principal do Rio Solimões; chuvas acima da climatologia registradas sobre o curso principal do Rio Amazonas em território peruano, bacias dos rios Içá, Javari, Marañon, Napo e Ucayali; chuvas próximas da normalidade registradas sobre as bacias hidrográficas dos rios Aripuanã, Beni, Japurá, Ji-Paraná, Juruá, Juruena, Madeira, bacias da margem esquerda do Rio Amazonas no nordeste do Estado do Amazonas, Negro, Tefé e Teles Pires. O multimodelo indica para as próximas semanas previsão de chuvas abaixo da climatologia sobre o curso principal do Rio Amazonas em território brasileiro, bacias dos rios Abacaxis, Aripuanã, Beni, Branco, Coari, Curuá Una, Guaporé, Iriri, Ji-Paraná, Juruena, Madeira, Mamoré, bacias da margem esquerda do Rio Amazonas no nordeste e no noroeste do Estado do Pará, Purus, Tapajós, Ucayali e Xingu; previsão de chuvas acima da climatologia sobre as bacias dos rios Japurá e Negro na primeira semana.**



| | | | | | | | |
|---|---------------|----|-----------|----|------------------|----|-------------|
| 1 | Abacaxis | 9 | Guaporé | 17 | Jutai | 25 | Negro |
| 2 | Amazonas (BR) | 10 | Içá | 18 | Madeira | 26 | Purus |
| 3 | Amazonas (PE) | 11 | Iriri | 19 | Mamoré | 27 | Solimões |
| 4 | Aripuanã | 12 | Japurá | 20 | Marañon | 28 | Tapajós |
| 5 | Beni | 13 | Javari | 21 | Marg Esq (AM) | 29 | Tefé |
| 6 | Branco | 14 | Ji-Paraná | 22 | Marg Esq (PA) NE | 30 | Teles Pires |
| 7 | Coari | 15 | Juruá | 23 | Marg Esq (PA) NW | 31 | Ucayali |
| 8 | Curuá Una | 16 | Juruena | 24 | Napo | 32 | Xingu |

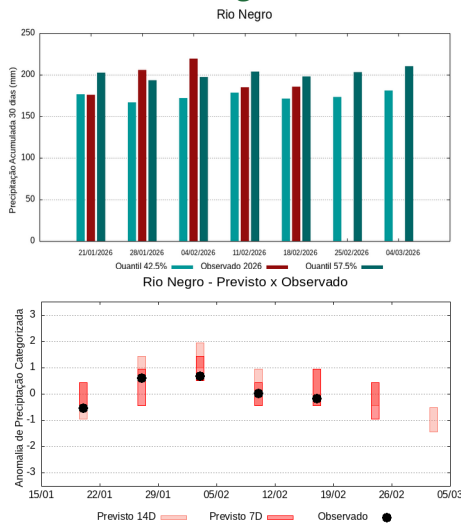
Análise individual por bacia hidrográfica

Bacia do Rio Branco



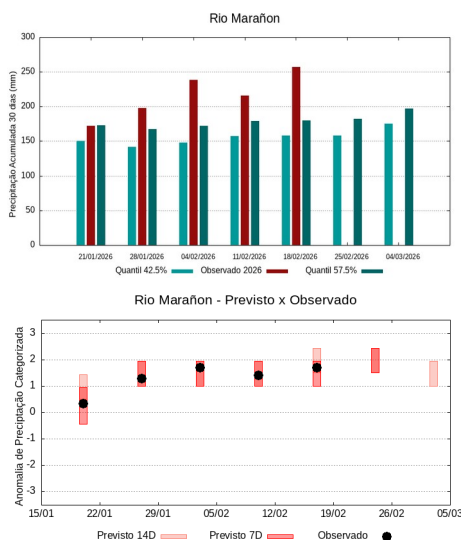
A climatologia do período em análise indica chuvas com registros variando entre **36 e 48 mm** sendo considerados normais (referência quantis 42.5% e 57.5%). Em **18 de fevereiro de 2026**, foram observados **30 mm** de precipitação média acumulada sobre a bacia em 30 dias, o cálculo da média do índice de anomalia categorizada na área da bacia o valor de **-0.9**, classifica a bacia em condição de **tendência a seco**. Nas próximas semanas o comportamento climático indica **elevação** dos volumes de chuva, o modelo de prognóstico subsazonal sugere um comportamento **próximo da normalidade ou tendência a seco**.

Bacia do Rio Negro



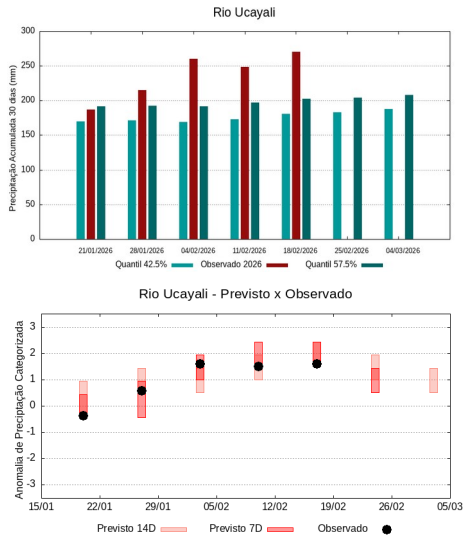
A climatologia do período em análise indica chuvas com registros variando entre **171 e 198 mm** sendo considerados normais (referência quantis 42.5% e 57.5%). Em **18 de fevereiro de 2026**, foram observados **186 mm** de precipitação média acumulada sobre a bacia em 30 dias, no cálculo da média do índice de anomalia categorizada na área da bacia o valor de **0.0**, classifica a bacia em condição de **normalidade**. Nas próximas semanas o comportamento climático indica **manutenção** dos volumes de chuva, o modelo de prognóstico subsazonal sugere um comportamento **próximo da normalidade ou tendência a seco**.

Bacia do Rio Marañon



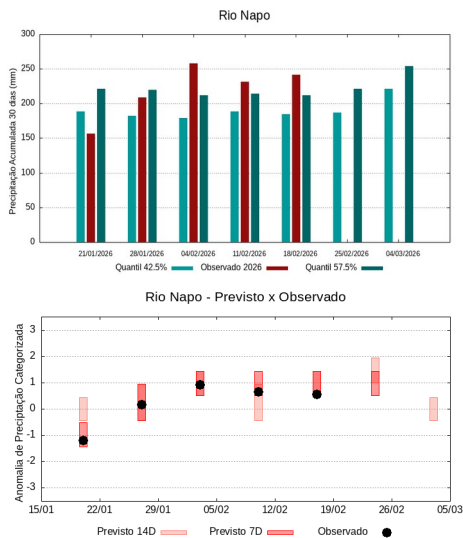
A climatologia do período em análise indica chuvas com registros variando entre **158 e 180 mm** sendo considerados normais (referência quantis 42.5% e 57.5%). Em **18 de fevereiro de 2026**, foram observados **257 mm** de precipitação média acumulada sobre a bacia em 30 dias, no cálculo da média do índice de anomalia categorizada na área da bacia o valor de **1.9**, classifica a bacia em condição de **tendência a muito chuvoso**. Nas próximas semanas o comportamento climático indica **elevação** dos volumes de chuva, o modelo de prognóstico subsazonal sugere um comportamento **muito chuvoso ou tendência a muito chuvoso**.

Bacia do Rio Ucayali



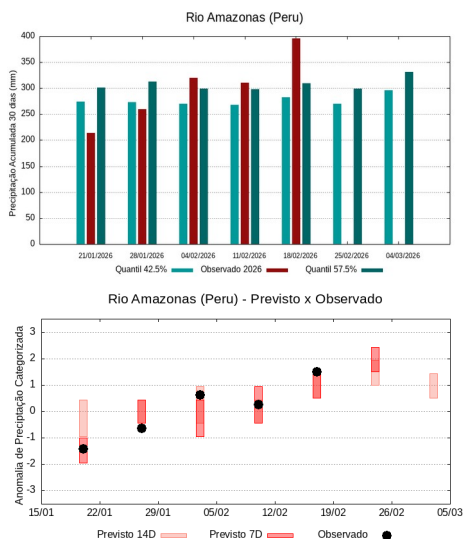
A climatologia do período em análise indica chuvas com registros variando entre **181 e 203 mm** sendo considerados normais (referência quantis 42.5% e 57.5%). Em **18 de fevereiro de 2026**, foram observados **271 mm** de precipitação média acumulada sobre a bacia em 30 dias, no cálculo da média do índice de anomalia categorizada na área da bacia o valor de **1.7**, classifica a bacia em condição de **tendência a muito chuvoso**. Nas próximas semanas o comportamento climático indica **manutenção** dos volumes de chuva, o modelo de prognóstico subsazonal sugere um comportamento **chuvoso ou tendência a chuvoso**.

Bacia do Rio Napo



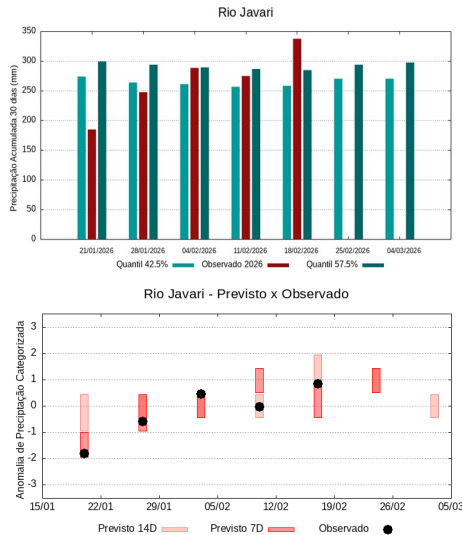
A climatologia do período em análise indica chuvas com registros variando entre **185 e 212 mm** sendo considerados normais (referência quantis 42.5% e 57.5%). Em **18 de fevereiro de 2026**, foram observados **241 mm** de precipitação média acumulada sobre a bacia em 30 dias, no cálculo da média do índice de anomalia categorizada na área da bacia o valor de **0.8**, classifica a bacia em condição de **tendência a chuvoso**. Nas próximas semanas o comportamento climático indica **elevação** dos volumes de chuva, o modelo de prognóstico subsazonal sugere um comportamento **chuvoso ou tendência a chuvoso**.

Curso principal do Rio Amazonas (Peru)



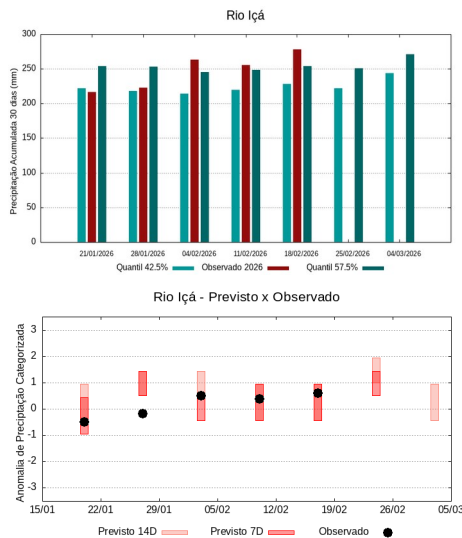
A climatologia do período em análise indica chuvas com registros variando entre **282 e 310 mm** sendo considerados normais (referência quantis 42.5% e 57.5%). Em **18 de fevereiro de 2026**, foram observados **396 mm** de precipitação média acumulada sobre a bacia em 30 dias, no cálculo da média do índice de anomalia categorizada na área da bacia o valor de **1.9**, classifica a bacia em condição de **tendência a muito chuvoso**. Nas próximas semanas o comportamento climático indica **manutenção** dos volumes de chuva, o modelo de prognóstico subsazonal sugere um comportamento **muito chuvoso ou tendência a muito chuvoso**.

Bacia do Rio Javari



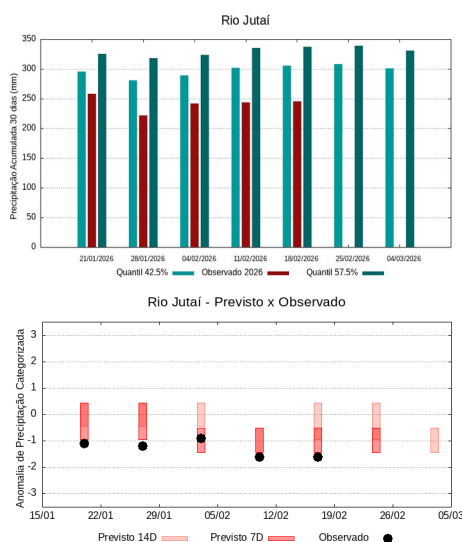
A climatologia do período em análise indica chuvas com registros variando entre **258 e 284 mm** sendo considerados normais (referência quantis 42.5% e 57.5%). Em **18 de fevereiro de 2026**, foram observados **338 mm** de precipitação média acumulada sobre a bacia em 30 dias, no cálculo da média do índice de anomalia categorizada na área da bacia o valor de **1.1**, classifica a bacia em condição de **chuvoso**. Nas próximas semanas o comportamento climático indica **manutenção** dos volumes de chuva, o modelo de prognóstico subsazonal sugere um comportamento **chuvoso ou tendência a chuvoso**.

Bacia do Rio Içá (Putumayo)



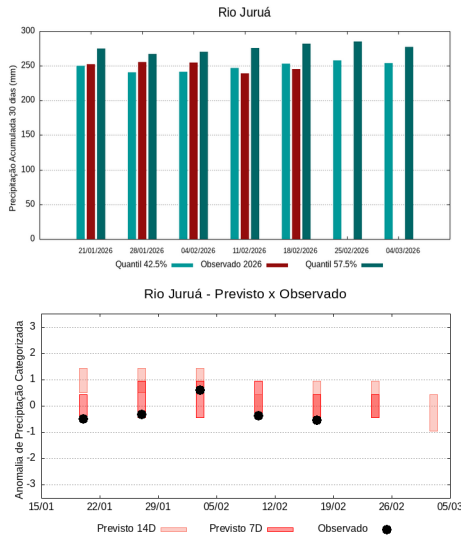
A climatologia do período em análise indica chuvas com registros variando entre **228 e 254 mm** sendo considerados normais (referência quantis 42.5% e 57.5%). Em **18 de fevereiro de 2026**, foram observados **278 mm** de precipitação média acumulada sobre a bacia em 30 dias, no cálculo da média do índice de anomalia categorizada na área da bacia o valor de **0.8**, classifica a bacia em condição de **tendência a chuvoso**. Nas próximas semanas o comportamento climático indica **manutenção** dos volumes de chuva, o modelo de prognóstico subsazonal sugere um comportamento **chuvoso ou tendência a chuvoso**.

Bacia do Rio Jutai



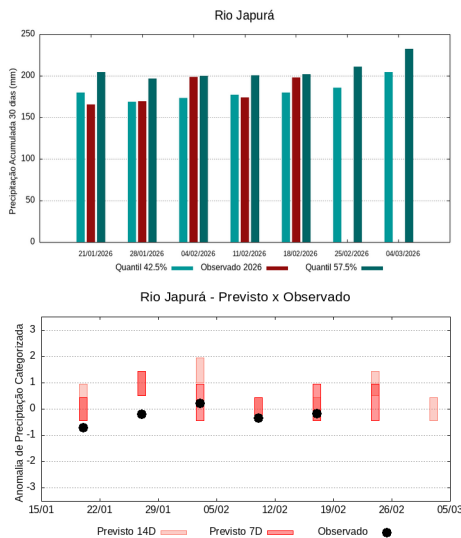
A climatologia do período em análise indica chuvas com registros variando entre **305 e 337 mm** sendo considerados normais (referência quantis 42.5% e 57.5%). Em **18 de fevereiro de 2026**, foram observados **245 mm** de precipitação média acumulada sobre a bacia em 30 dias, no cálculo da média do índice de anomalia categorizada na área da bacia o valor de **-1.5**, classifica a bacia em condição de **tendência a muito seco**. Nas próximas semanas o comportamento climático indica **manutenção** dos volumes de chuva, o modelo de prognóstico subsazonal sugere um comportamento **seco ou tendência a seco**.

Bacia do Rio Juruá



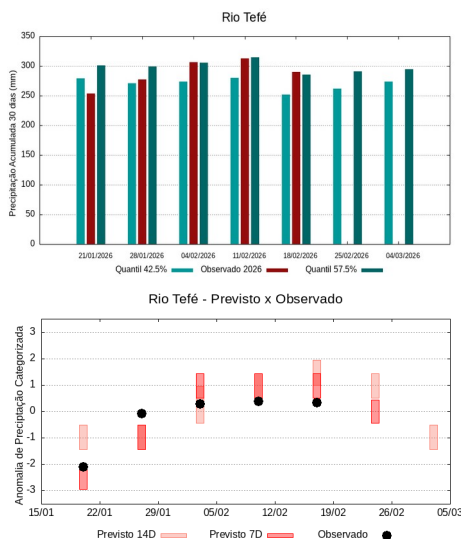
A climatologia do período em análise indica chuvas com registros variando entre **254 e 282 mm** sendo considerados normais (referência quantis 42.5% e 57.5%). Em **18 de fevereiro de 2026**, foram observados **246 mm** de precipitação média acumulada sobre a bacia em 30 dias, no cálculo da média do índice de anomalia categorizada na área da bacia o valor de **-0.4**, classifica a bacia em condição de **normalidade**. Nas próximas semanas o comportamento climático indica **manutenção** dos volumes de chuva, o modelo de prognóstico subsazonal sugere um comportamento **próximo da normalidade**.

Bacia do Rio Japurá (Caquetá)



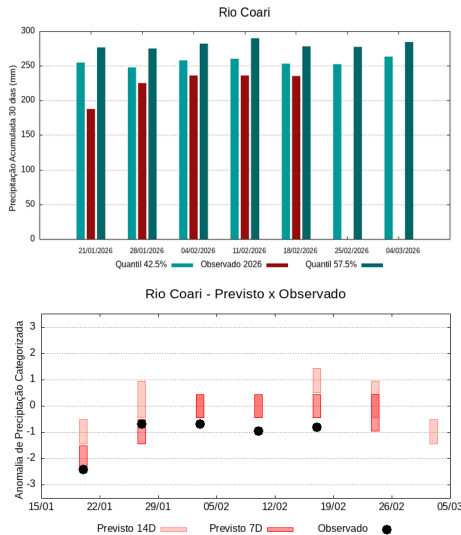
A climatologia do período em análise indica chuvas com registros variando entre **180 e 202 mm** sendo considerados normais (referência quantis 42.5% e 57.5%). Em **18 de fevereiro de 2026**, foram observados **198 mm** de precipitação média acumulada sobre a bacia em 30 dias, no cálculo da média do índice de anomalia categorizada na área da bacia o valor de **0.1**, classifica a bacia em condição de **normalidade**. Nas próximas semanas o comportamento climático indica **elevação** dos volumes de chuva, o modelo de prognóstico subsazonal sugere um comportamento **próximo da normalidade ou tendência a chuvoso**.

Bacia do Rio Tefé



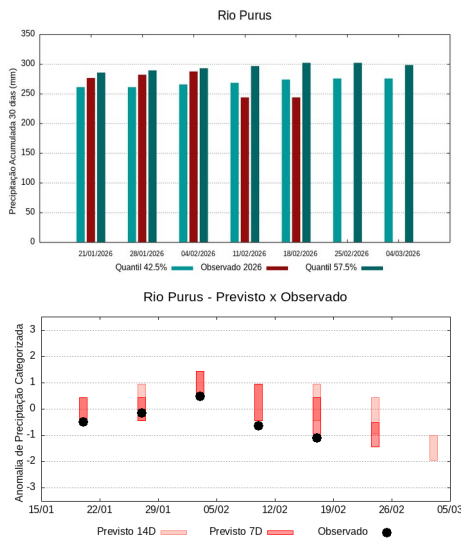
A climatologia do período em análise indica chuvas com registros variando entre **252 e 286 mm** sendo considerados normais (referência quantis 42.5% e 57.5%). Em **18 de fevereiro de 2026**, foram observados **290 mm** de precipitação média acumulada sobre a bacia em 30 dias, no cálculo da média do índice de anomalia categorizada na área da bacia o valor de **0.4**, classifica a bacia em condição de **normalidade**. Nas próximas semanas o comportamento climático indica **manutenção** dos volumes de chuva, o modelo de prognóstico subsazonal sugere um comportamento **próximo da normalidade**.

Bacia do Rio Coari



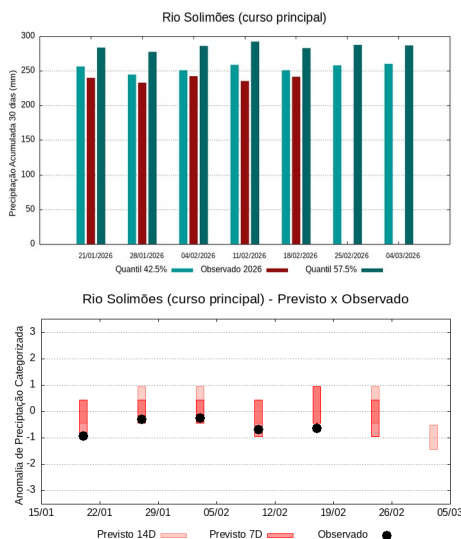
A climatologia do período em análise indica chuvas com registros variando entre **253 e 278 mm** sendo considerados normais (referência quantis 42.5% e 57.5%). Em **18 de fevereiro de 2026**, foram observados **236 mm** de precipitação média acumulada sobre a bacia em 30 dias, no cálculo da média do índice de anomalia categorizada na área da bacia o valor de **-0.7**, classifica a bacia em condição de **tendência a seco**. Nas próximas semanas o comportamento climático indica **manutenção** dos volumes de chuva, o modelo de prognóstico subsazonal sugere um comportamento **próximo da normalidade ou tendência a seco**.

Bacia do Rio Purus



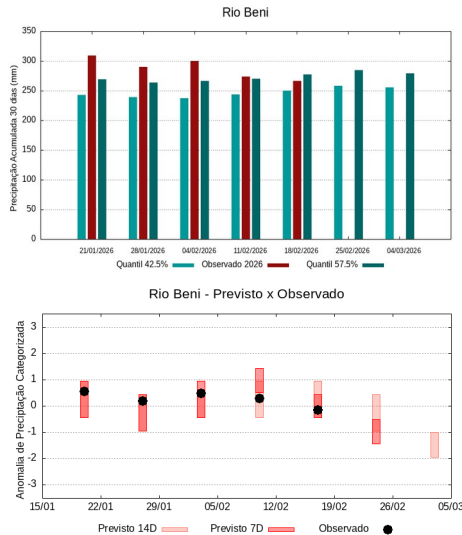
A climatologia do período em análise indica chuvas com registros variando entre **274 e 302 mm** sendo considerados normais (referência quantis 42.5% e 57.5%). Em **18 de fevereiro de 2026**, foram observados **244 mm** de precipitação média acumulada sobre a bacia em 30 dias, no cálculo da média do índice de anomalia categorizada na área da bacia o valor de **-1.0**, classifica a bacia em condição de **seco**. Nas próximas semanas o comportamento climático indica **manutenção** dos volumes de chuva, o modelo de prognóstico subsazonal sugere um comportamento **seco ou tendência a seco**.

Curso principal do Rio Solimões



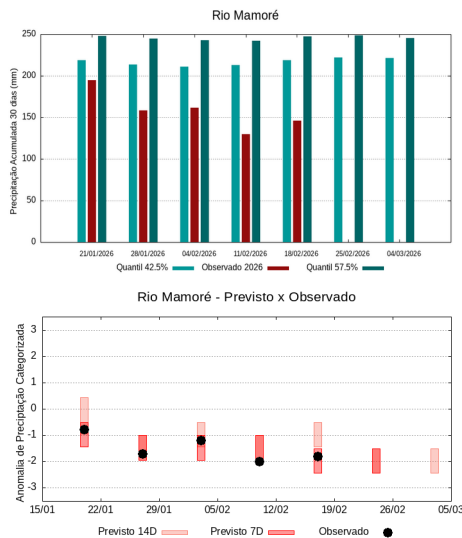
A climatologia do período em análise indica chuvas com registros variando entre **251 e 283 mm** sendo considerados normais (referência quantis 42.5% e 57.5%). Em **18 de fevereiro de 2026**, foram observados **242 mm** de precipitação média acumulada sobre a bacia em 30 dias, no cálculo da média do índice de anomalia categorizada na área da bacia o valor de **-0.6**, classifica a bacia em condição de **tendência a seco**. Nas próximas semanas o comportamento climático indica **manutenção** dos volumes de chuva, o modelo de prognóstico subsazonal sugere um comportamento **próximo da normalidade ou tendência a seco**.

Bacia dos rios Beni e Madre de Dios



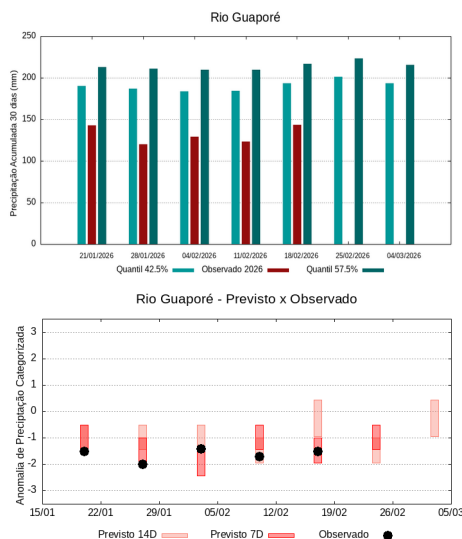
A climatologia do período em análise indica chuvas com registros variando entre **250 e 277 mm** sendo considerados normais (referência quantis 42.5% e 57.5%). Em **18 de fevereiro de 2026**, foram observados **267 mm** de precipitação média acumulada sobre a bacia em 30 dias, no cálculo da média do índice de anomalia categorizada na área da bacia o valor de **-0.1**, classifica a bacia em condição de **normalidade**. Nas próximas semanas o comportamento climático indica **manutenção** dos volumes de chuva, o modelo de prognóstico subsazonal sugere um comportamento **seco ou tendência a seco**.

Bacia do Rio Mamoré



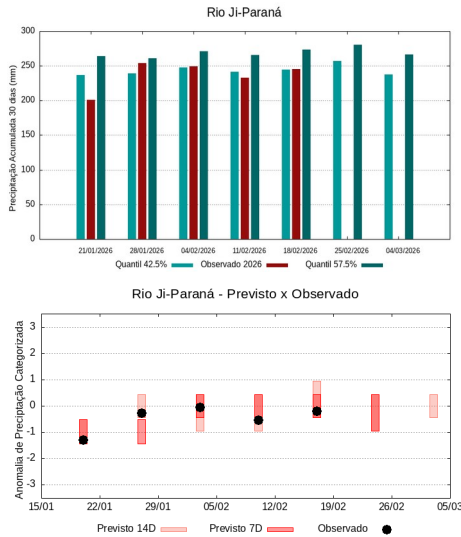
A climatologia do período em análise indica chuvas com registros variando entre **219 e 248 mm** sendo considerados normais (referência quantis 42.5% e 57.5%). Em **18 de fevereiro de 2026**, foram observados **146 mm** de precipitação média acumulada sobre a bacia em 30 dias, no cálculo da média do índice de anomalia categorizada na área da bacia o valor de **-2.0**, classifica a bacia em condição de **muito seco**. Nas próximas semanas o comportamento climático indica **manutenção** dos volumes de chuva, o modelo de prognóstico subsazonal sugere um comportamento **muito seco ou tendência a muito seco**.

Bacia do Rio Guaporé (Iténez)



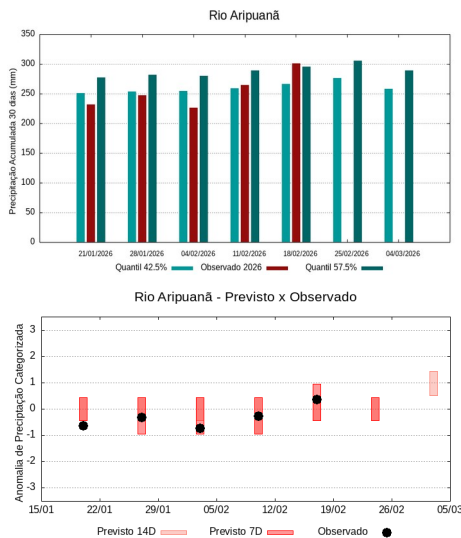
A climatologia do período em análise indica chuvas com registros variando entre **193 e 217 mm** sendo considerados normais (referência quantis 42.5% e 57.5%). Em **18 de fevereiro de 2026**, foram observados **144 mm** de precipitação média acumulada sobre a bacia em 30 dias, no cálculo da média do índice de anomalia categorizada na área da bacia o valor de **-1.5**, classifica a bacia em condição de **tendência a muito seco**. Nas próximas semanas o comportamento climático indica **manutenção** dos volumes de chuva, o modelo de prognóstico subsazonal sugere um comportamento **seco ou tendência a seco**.

Bacia do Rio Ji-Paraná



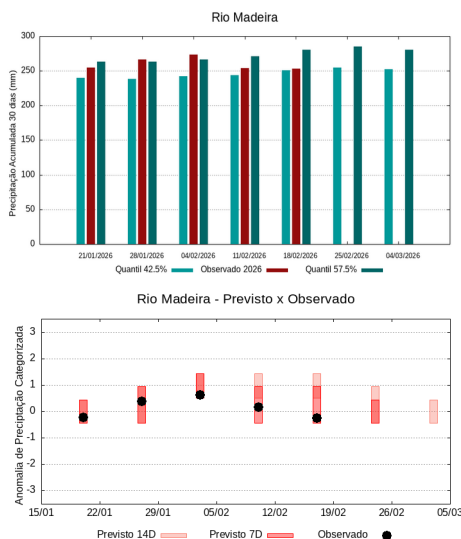
A climatologia do período em análise indica chuvas com registros variando entre **244 e 273 mm** sendo considerados normais (referência quantis 42.5% e 57.5%). Em **18 de fevereiro de 2026**, foram observados **245 mm** de precipitação média acumulada sobre a bacia em 30 dias, no cálculo da média do índice de anomalia categorizada na área da bacia, o valor de **-0.2**, classifica a bacia em condição de **normalidade**. Nas próximas semanas o comportamento climático indica **manutenção** dos volumes de chuva, o modelo de prognóstico subsazonal sugere um comportamento **próximo da normalidade ou tendência a seco**.

Bacia do Rio Aripuanã



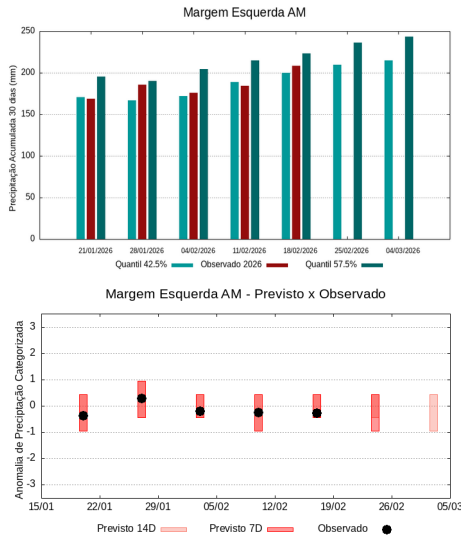
A climatologia do período em análise indica chuvas com registros variando entre **266 e 296 mm** sendo considerados normais (referência quantis 42.5% e 57.5%). Em **18 de fevereiro de 2026**, foram observados **301 mm** de precipitação média acumulada sobre a bacia em 30 dias, no cálculo da média do índice de anomalia categorizada na área da bacia o valor de **0.3**, classifica a bacia em condição de **normalidade**. Nas próximas semanas o comportamento climático indica **manutenção** dos volumes de chuva, o modelo de prognóstico subsazonal sugere um comportamento **próximo da normalidade**.

Bacia do Rio Madeira



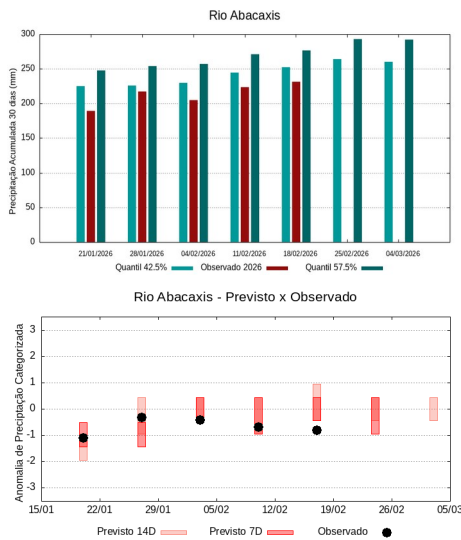
A climatologia do período em análise indica chuvas com registros variando entre **251 e 280 mm** sendo considerados normais (referência quantis 42.5% e 57.5%). Em **18 de fevereiro de 2026**, foram observados **253 mm** de precipitação média acumulada sobre a bacia em 30 dias, no cálculo da média do índice de anomalia categorizada na área da bacia o valor de **-0.2**, classifica a bacia em condição de **normalidade**. Nas próximas semanas o comportamento climático indica **manutenção** dos volumes de chuva, o modelo de prognóstico subsazonal sugere um comportamento **próximo da normalidade**.

Bacias da margem esquerda do Rio Amazonas (Amazonas)



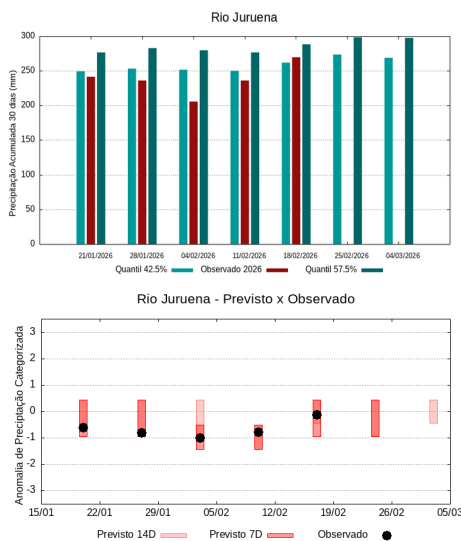
A climatologia do período em análise indica chuvas com registros variando entre **200 e 224 mm** sendo considerados normais (referência quantis 42.5% e 57.5%). Em **18 de fevereiro de 2026**, foram observados **209 mm** de precipitação média acumulada sobre a bacia em 30 dias, no cálculo da média do índice de anomalia categorizada na área da bacia o valor de **-0.1**, classifica a bacia em condição de **normalidade**. Nas próximas semanas o comportamento climático indica **elevação** dos volumes de chuva, o modelo de prognóstico subsazonal sugere um comportamento **próximo da normalidade ou tendência a seco**.

Bacia do Rio Abacaxis



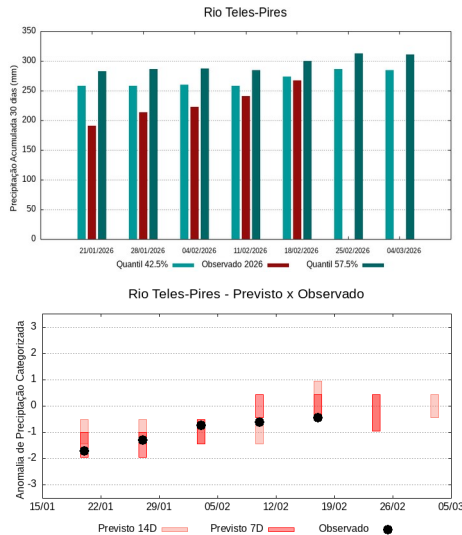
A climatologia do período em análise indica chuvas com registros variando entre **253 e 277 mm** sendo considerados normais (referência quantis 42.5% e 57.5%). Em **18 de fevereiro de 2026**, foram observados **232 mm** de precipitação média acumulada sobre a bacia em 30 dias, no cálculo da média do índice de anomalia categorizada na área da bacia o valor de **-0.8**, classifica a bacia em condição de **tendência a seco**. Nas próximas semanas o comportamento climático indica **manutenção** dos volumes de chuva, o modelo de prognóstico subsazonal sugere um comportamento **próximo da normalidade ou tendência a seco**.

Bacia do Rio Juruena



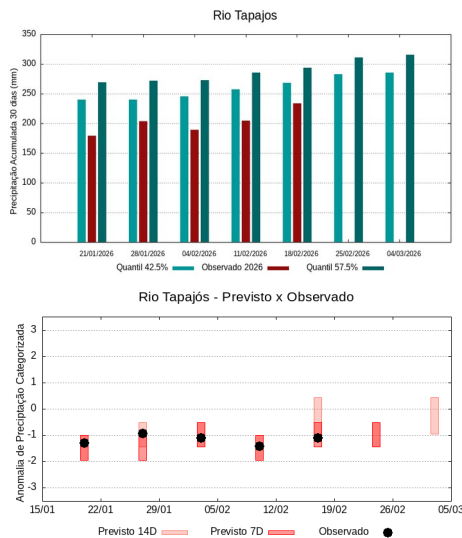
A climatologia do período em análise indica chuvas com registros variando entre **262 e 289 mm** sendo considerados normais (referência quantis 42.5% e 57.5%). Em **18 de fevereiro de 2026**, foram observados **270 mm** de precipitação média acumulada sobre a bacia em 30 dias, no cálculo da média do índice de anomalia categorizada na área da bacia o valor de **-0.1**, classifica a bacia em condição de **normalidade**. Nas próximas semanas o comportamento climático indica **manutenção** dos volumes de chuva, o modelo de prognóstico subsazonal sugere um comportamento **próximo da normalidade ou tendência a seco**.

Bacia do Rio Teles Pires



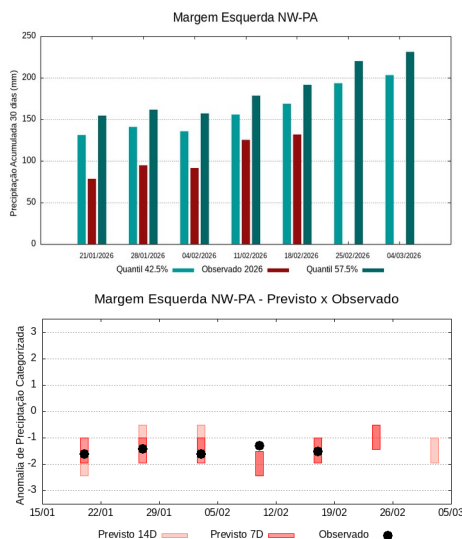
A climatologia do período em análise indica chuvas com registros variando entre **273 e 300 mm** sendo considerados normais (referência quantis 42.5% e 57.5%). Em **18 de fevereiro de 2026**, foram observados **267 mm** de precipitação média acumulada sobre a bacia em 30 dias, no cálculo da média do índice de anomalia categorizada na área da bacia o valor de **-0.4**, classifica a bacia em condição de **normalidade**. Nas próximas semanas o comportamento climático indica **manutenção** dos volumes de chuva, o modelo de prognóstico subsazonal sugere um comportamento **próximo da normalidade ou tendência a seco**.

Bacia do Rio Tapajós



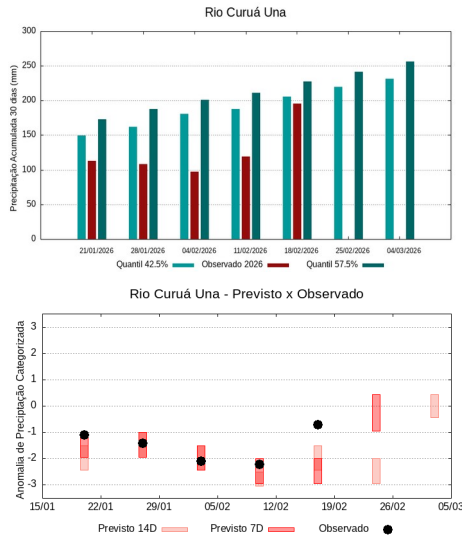
A climatologia do período em análise indica chuvas com registros variando entre **268 e 294 mm** sendo considerados normais (referência quantis 42.5% e 57.5%). Em **18 de fevereiro de 2026**, foram observados **233 mm** de precipitação média acumulada sobre a bacia em 30 dias, no cálculo da média do índice de anomalia categorizada na área da bacia o valor de **-1.1**, classifica a bacia em condição de **seco**. Nas próximas semanas o comportamento climático indica **manutenção** dos volumes de chuva, o modelo de prognóstico subsazonal sugere um comportamento **seco ou tendência a seco**.

Bacias da margem esquerda do Rio Amazonas (noroeste do Pará)



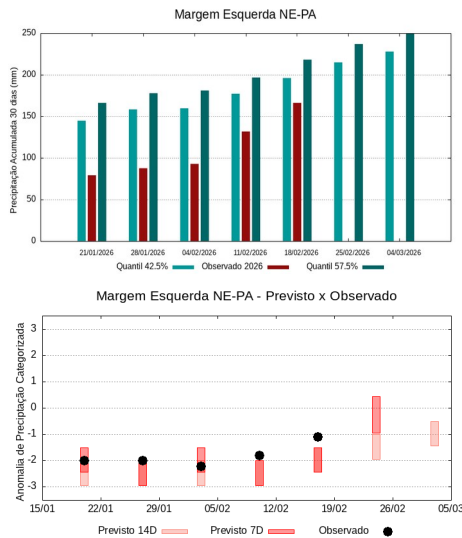
A climatologia do período em análise indica chuvas com registros variando entre **169 e 191 mm** sendo considerados normais (referência quantis 42.5% e 57.5%). Em **18 de fevereiro de 2026**, foram observados **132 mm** de precipitação média acumulada sobre a bacia em 30 dias, no cálculo da média do índice de anomalia categorizada na área da bacia o valor de **-1.5**, classifica a bacia em condição de **tendência a muito seco**. Nas próximas semanas o comportamento climático indica **elevação** dos volumes de chuva, o modelo de prognóstico subsazonal sugere um comportamento **seco ou tendência a seco**.

Bacia do Rio Curuá Una



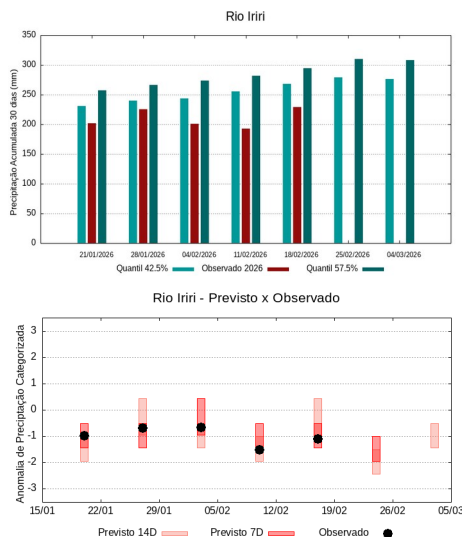
A climatologia do período em análise indica chuvas com registros variando entre **206 e 227 mm** sendo considerados normais (referência quantis 42.5% e 57.5%). Em **18 de fevereiro de 2026**, foram observados **195 mm** de precipitação média acumulada sobre a bacia em 30 dias, no cálculo da média do índice de anomalia categorizada na área da bacia o valor de **-0.6**, classifica a bacia em condição de **tendência a seco**. Nas próximas semanas o comportamento climático indica **elevação** dos volumes de chuva, o modelo de prognóstico subsazonal sugere um comportamento **próximo da normalidade ou tendência a seco**.

Bacias da margem esquerda do Rio Amazonas (nordeste do PA)



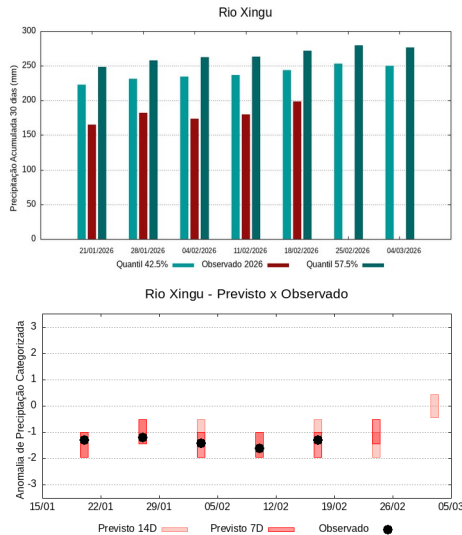
A climatologia do período em análise indica chuvas com registros variando entre **196 e 218 mm** sendo considerados normais (referência quantis 42.5% e 57.5%). Em **18 de fevereiro de 2026**, foram observados **167 mm** de precipitação média acumulada sobre a bacia em 30 dias, no cálculo da média do índice de anomalia categorizada na área da bacia o valor de **-1.2**, classifica a bacia em condição de **seco**. Nas próximas semanas o comportamento climático indica **elevação** dos volumes de chuva, o modelo de prognóstico subsazonal sugere um comportamento **próximo da normalidade ou tendência a seco**.

Bacia do Rio Iriri



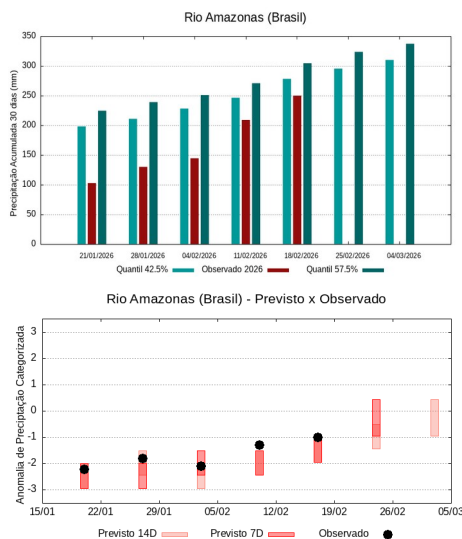
A climatologia do período em análise indica chuvas com registros variando entre **269 e 295 mm** sendo considerados normais (referência quantis 42.5% e 57.5%). Em **18 de fevereiro de 2026**, foram observados **229 mm** de precipitação média acumulada sobre a bacia em 30 dias, no cálculo da média do índice de anomalia categorizada na área da bacia o valor de **-1.1**, classifica a bacia em condição de **seco**. Nas próximas semanas o comportamento climático indica **manutenção** dos volumes de chuva, o modelo de prognóstico subsazonal sugere um comportamento **seco ou tendência a muito seco**.

Bacia do Rio Xingu



A climatologia do período em análise indica chuvas com registros variando entre **244 e 272 mm** sendo considerados normais (referência quantis 42.5% e 57.5%). Em **18 de fevereiro de 2026**, foram observados **199 mm** de precipitação média acumulada sobre a bacia em 30 dias, no cálculo da média do índice de anomalia categorizada na área da bacia o valor de **-1.3**, classifica a bacia em condição de **seco**. Nas próximas semanas o comportamento climático indica **manutenção** dos volumes de chuva, o modelo de prognóstico subsazonal sugere um comportamento **seco ou tendência a seco**.

Curso principal do Rio Amazonas (Brasil)

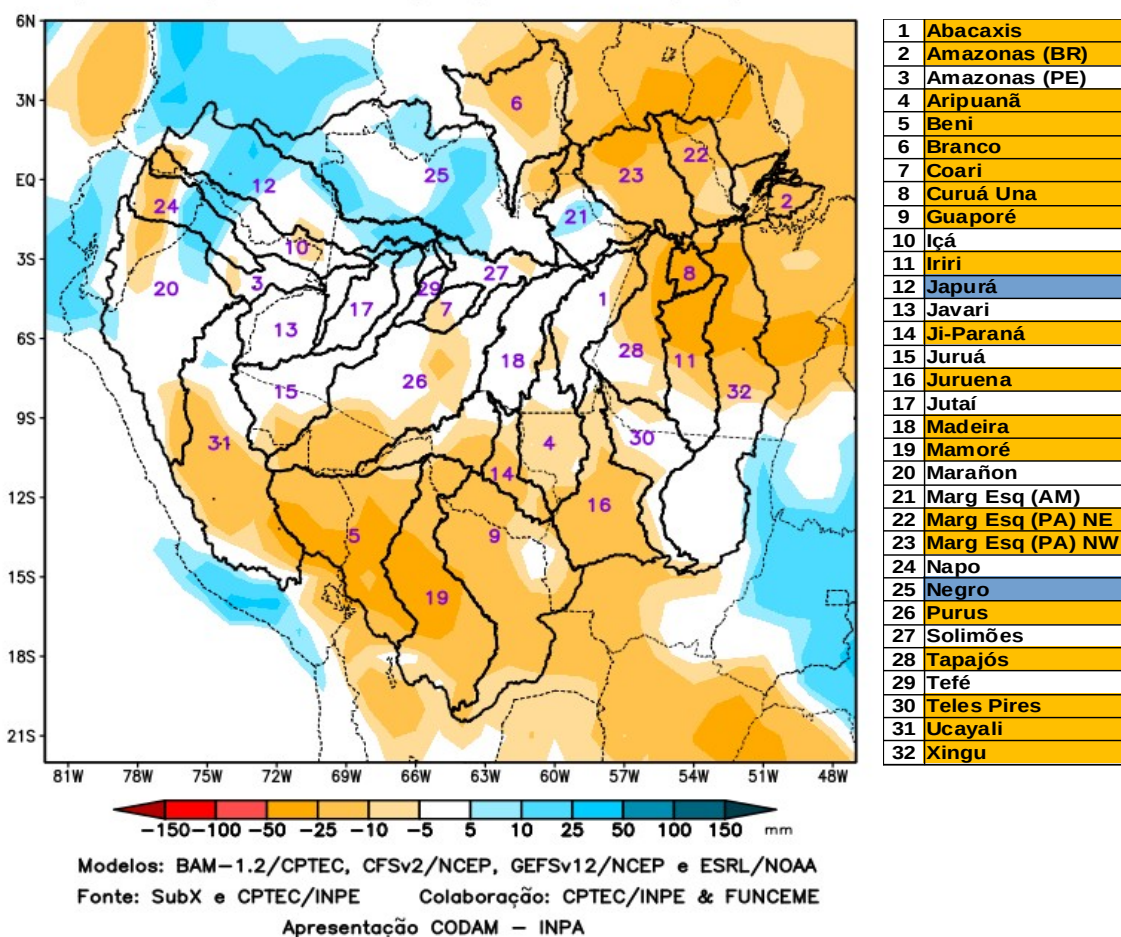


A climatologia do período em análise indica chuvas com registros variando entre **278 e 304 mm** sendo considerados normais (referência quantis 42.5% e 57.5%). Em **18 de fevereiro de 2026**, foram observados **250 mm** de precipitação média acumulada sobre a bacia em 30 dias, no cálculo da média do índice de anomalia categorizada na área da bacia o valor de **-1.0**, classifica a bacia em condição de **seco**. Nas próximas semanas o comportamento climático indica **elevação** dos volumes de chuva, o modelo de prognóstico subsazonal sugere um comportamento **próximo da normalidade ou tendência a seco**.

Previsão multimodelo subsazonal CPTEC/INPE-FUNCEME produzida em 17/02/2026 para os próximos 7 e 14 dias.

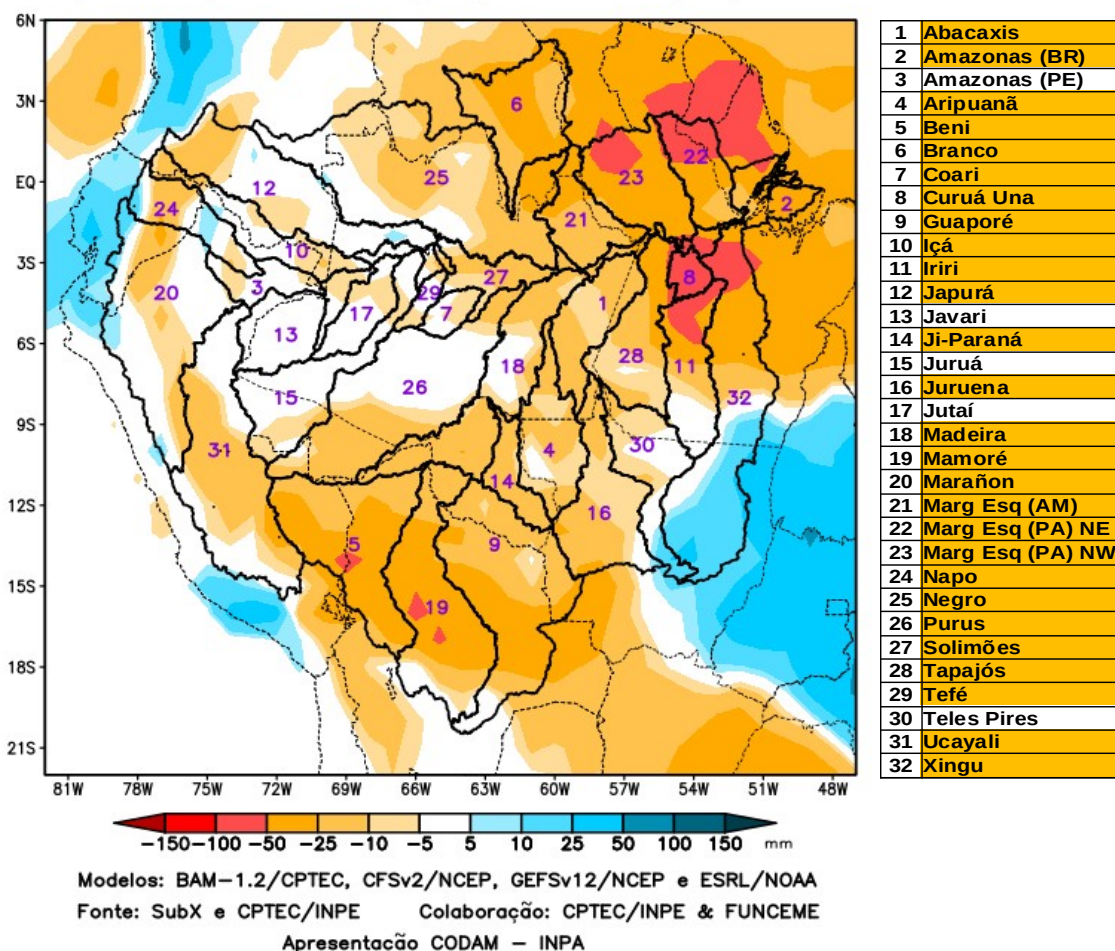
A previsão multimodelo subsazonal calibrada CPTEC/INPE-FUNCEME é gerada através de cooperação científica entre o CPTEC/INPE e a FUNCEME, sendo proveniente do conjunto de 4 modelos globais (um modelo brasileiro, o BAM-1.2/CPTEC, e três modelos dos EUA, CFSv2/NCEP, GEFSv12/NCEP e ESRL/NOAA, estes três últimos do projeto SubX). As anomalias de precipitação previstas são determinadas em relação ao período climatológico de 1999 a 2016. A seguir são apresentadas as saídas para o intervalo de previsão de 07 e 14 dias detalhando o comportamento previsto sobre as bacias de interesse.

PREVISÃO SUBSAZONAL – MULTIMODELO CALIBRADO
Anomalia (mm) de Precipitação Acumulada
(07 Dias) Período: 18/02/2026 – 24/02/2026



A Figura acima, apresenta o prognóstico para o intervalo de 7 dias entre 18/02/2026 e 24/02/2026, previsão de predomínio de déficit de precipitação (laranja) no sul e no nordeste da região monitorada, sobre o curso principal do Rio Amazonas em território brasileiro, bacias dos rios Abacaxis, Aripuanã, Beni, Branco, Coari, Curuá Una, Guaporé, Iriri, Ji-Paraná, Juruena, Madeira, Mamoré, bacias da margem esquerda do Rio Amazonas no nordeste e no noroeste do Estado do Pará, Purus, Tapajós, Teles Pires, Ucayali e Xingu. Previsão de anomalias positivas de precipitação (azul) sobre as bacias dos rios Japurá e Negro. Previsão de chuvas próximas a climatologia (branco) sobre as demais bacias monitoradas.

PREVISÃO SUBSAZONAL-MULTIMODELO CALIBRADO
 Anomalia (mm) de Precipitação Acumulada
 (14 Dias) Período: 18/02/2026 - 03/03/2026



A Figura acima, apresenta o prognóstico para o intervalo de 14 dias entre 18/02/2026 e 03/03/2026, previsão de predomínio de déficit de precipitação (laranja) em quase totalidade da região monitorada, sobre o curso principal do Rio Amazonas em território brasileiro, bacias dos rios Abacaxis, Aripuanã, Beni, Branco, Coari, Curuá Una, Guaporé, Iriti, Japurá, Ji-Paraná, Juruena, Madeira, Mamoré, Marañon, bacias da margem esquerda do Rio Amazonas no nordeste do Estado do Amazonas e no nordeste e no noroeste do Estado do Pará, Napo, Negro, Purus, Tapajós, Tefé, Ucayali, Xingu e o curso principal do Rio Solimões. Não há previsão de anomalias positivas de precipitação (azul) sobre a região monitorada. Previsão de chuvas próximas a climatologia (branco) sobre o curso principal do Rio Amazonas em território peruano, bacias hidrográficas dos rios Javari, Juruá, Jutaí e Teles Pires.

Valores de Referência para a precipitação acumulada em 30 dias na data da análise.

A Tabela 1, mostra os valores de precipitação média acumulada (mm de chuva) por bacia, tomando como base as estimativas de precipitação por meio de imagens de satélite, produto denominado MERGE/GPM, disponibilizado pelo Instituto Nacional de Pesquisas Espaciais, no período 2000 – 2025, levando-se em conta o limite geográfico das bacias hidrográficas da Amazônia, para tanto foi utilizada a técnica de quantis, por se mostrar uma ferramenta adequada e precisa para categorizar precipitação e anomalias de variáveis discretas, foram adotados os seguintes limites 5%, 12.5%, 20%, 27.5%, 35%, 42.5%, 57.5%, 65%, 72.5%, 80%, 87.5% e 95% buscando estratificar a técnica e permitir uma categorização mais detalhada das condições em cada bacia monitorada.

| 18/02/2026 | Quantis para categorização de anomalias de precipitação | | | | | | | | | | | |
|------------------|---|-------|-------|-------|-------|-------|-------|-------|-------|-------|-------|-------|
| | 5.0% | 12.5% | 20.0% | 27.5% | 35.0% | 42.5% | 57.5% | 65.0% | 72.5% | 80.0% | 87.5% | 95.0% |
| Abacaxis | 117 | 159 | 192 | 216 | 235 | 253 | 277 | 295 | 314 | 335 | 365 | 419 |
| Amazonas (BR) | 167 | 200 | 221 | 240 | 259 | 278 | 304 | 323 | 344 | 366 | 395 | 455 |
| Amazonas (PE) | 151 | 190 | 217 | 240 | 260 | 282 | 310 | 331 | 356 | 384 | 420 | 478 |
| Aripuanã | 135 | 177 | 206 | 229 | 248 | 266 | 296 | 319 | 345 | 373 | 404 | 456 |
| Beni | 147 | 178 | 198 | 216 | 233 | 250 | 277 | 297 | 319 | 349 | 389 | 454 |
| Branco | 6 | 12 | 17 | 23 | 29 | 36 | 48 | 59 | 74 | 94 | 117 | 150 |
| Coari | 153 | 175 | 196 | 216 | 235 | 253 | 278 | 296 | 314 | 339 | 371 | 420 |
| Curuá Una | 120 | 145 | 163 | 179 | 192 | 206 | 227 | 244 | 264 | 289 | 319 | 360 |
| Guaporé | 101 | 131 | 148 | 163 | 178 | 193 | 217 | 234 | 253 | 277 | 308 | 360 |
| Içá | 112 | 142 | 170 | 192 | 212 | 228 | 254 | 274 | 295 | 321 | 360 | 418 |
| Iriri | 136 | 180 | 207 | 230 | 250 | 269 | 295 | 314 | 335 | 362 | 395 | 457 |
| Japurá | 84 | 113 | 135 | 151 | 165 | 180 | 202 | 217 | 235 | 256 | 285 | 342 |
| Javari | 151 | 184 | 207 | 226 | 242 | 258 | 284 | 304 | 326 | 353 | 386 | 440 |
| Ji-Paraná | 110 | 166 | 189 | 208 | 226 | 244 | 273 | 294 | 317 | 341 | 372 | 420 |
| Juruá | 136 | 161 | 191 | 212 | 233 | 254 | 282 | 301 | 323 | 349 | 383 | 435 |
| Juruena | 143 | 179 | 203 | 224 | 243 | 262 | 289 | 308 | 330 | 355 | 390 | 448 |
| Jutaí | 169 | 202 | 231 | 259 | 284 | 305 | 337 | 359 | 380 | 403 | 430 | 478 |
| Madeira | 126 | 164 | 189 | 212 | 232 | 251 | 280 | 300 | 320 | 342 | 370 | 414 |
| Mamoré | 120 | 148 | 167 | 185 | 201 | 219 | 248 | 269 | 295 | 326 | 368 | 444 |
| Marañon | 73 | 96 | 113 | 129 | 144 | 158 | 180 | 195 | 212 | 231 | 257 | 297 |
| Marg Esq (AM) | 63 | 97 | 132 | 161 | 183 | 200 | 224 | 239 | 257 | 279 | 304 | 344 |
| Marg Esq (PA) NE | 100 | 137 | 155 | 170 | 184 | 196 | 218 | 233 | 251 | 273 | 299 | 339 |
| Marg Esq (PA) NW | 77 | 105 | 124 | 141 | 156 | 169 | 191 | 208 | 227 | 248 | 278 | 342 |
| Napo | 74 | 107 | 127 | 146 | 166 | 185 | 212 | 233 | 255 | 284 | 325 | 388 |
| Negro | 68 | 95 | 115 | 134 | 153 | 171 | 198 | 218 | 243 | 270 | 303 | 354 |
| Purus | 155 | 189 | 213 | 235 | 255 | 274 | 302 | 321 | 342 | 365 | 394 | 438 |
| Solimões | 130 | 165 | 191 | 212 | 233 | 251 | 283 | 306 | 332 | 360 | 389 | 431 |
| Tapajós | 130 | 175 | 208 | 232 | 252 | 268 | 294 | 311 | 332 | 356 | 386 | 443 |
| Tefé | 152 | 183 | 199 | 215 | 232 | 252 | 286 | 312 | 337 | 362 | 392 | 443 |
| Teles Pires | 154 | 187 | 215 | 237 | 256 | 273 | 300 | 319 | 339 | 363 | 395 | 456 |
| Ucayali | 104 | 123 | 138 | 153 | 167 | 181 | 203 | 219 | 236 | 257 | 285 | 334 |
| Xingu | 131 | 163 | 186 | 207 | 225 | 244 | 272 | 293 | 315 | 343 | 377 | 433 |

Tabela 1. Quantis de precipitação acumulada (mm) em 30 dias (20 de janeiro a 18 de fevereiro), Climatologia do período (2000 - 2025) dados MERGE/GPM – INPE/CPTEC.

Categorização das anomalias de precipitação

Utilizando os valores constantes na tabela anterior é possível categorizar a precipitação observada no ano corrente em relação aos valores observados nos registros anteriores desde o início da série disponível, assim os valores observados inferiores ao quantil de 5% caracterizam a bacia em condição de extremamente seco, entre 5 e 12.5% em condição de tendência a extremamente seco, entre 12.5 e 20% condição de muito seco, entre 20 e 27.5% tendência a muito seco, entre 27.5 e 35% condição de seco, entre 35 e 42.5 condição de tendência a seco, valores entre 42.5 e 57.5 definem a condição de normalidade, valores entre 57.5 e 65% condição de tendência a chuvoso, entre 65 e 72.5% condição de chuvoso, entre 72.5 e 80% tendência a muito chuvoso, entre 80 e 87.5 condição de muito chuvoso, entre 87.5 e 95% indicam tendência a extremamente chuvoso e finalmente valores superiores a 95% definem a bacia em condição de extremamente chuvoso, conforme legenda abaixo.

| QUANTIL | 5.0% | 12.5% | 20.0% | 27.5% | 35.0% | 42.5% | | 57.5% | 65.0% | 72.5% | 80.0% | 87.5% | 95.0% |
|-----------|-------------------|-------------------------------|------------|------------------------|-------|------------------|--------|---------------------|---------|---------------------------|---------------|----------------------------------|----------------------|
| INDICE | -3.0 | -2.5 | -2.0 | -1.5 | -1.0 | -0.5 | 0.0 | 0.5 | 1.0 | 1.5 | 2.0 | 2.5 | 3.0 |
| CATEGORIA | EXTREMAMENTE SECO | TENDÊNCIA A EXTREMAMENTE SECO | MUITO SECO | TENDÊNCIA A MUITO SECO | SECO | TENDÊNCIA A SECO | NORMAL | TENDÊNCIA A CHUVOSO | CHUVOSO | TENDÊNCIA A MUITO CHUVOSO | MUITO CHUVOSO | TENDÊNCIA A EXTREMAMENTE CHUVOSO | EXTREMAMENTE CHUVOSO |

As tabelas a seguir apresentam (Tabela 2A) a precipitação média observada (mm) em cada bacia tomando como referência as estimativas de precipitação por satélite utilizando a técnica MERGE, acumuladas em 30 dias nas datas indicadas, disponibilizadas em <http://ftp.cptec.inpe.br/modelos/tempo/MERGE/GPM/DAILY/> os valores médios das anomalias categorizadas (Tabela 2B) foram estimados com base no valor de anomalia de cada pixel na área da bacia monitorada, calculados conforme metodologia descrita no item anterior, nas mesmas datas do monitoramento da precipitação, a escala de cores das anomalias segue a legenda descrita.

| | Precipitação acumulada média na bacia (mm) | | | | |
|------------------|--|------------|------------|------------|------------|
| | 21/01/2026 | 28/01/2026 | 04/02/2026 | 11/02/2026 | 18/02/2026 |
| Abacaxis | 189 | 217 | 205 | 223 | 232 |
| Amazonas (BR) | 103 | 130 | 144 | 209 | 250 |
| Amazonas (PE) | 214 | 260 | 320 | 311 | 396 |
| Aripuanã | 232 | 247 | 226 | 264 | 301 |
| Bení | 309 | 290 | 300 | 274 | 267 |
| Branco | 27 | 30 | 40 | 32 | 30 |
| Coari | 188 | 226 | 236 | 236 | 236 |
| Curuá Una | 113 | 108 | 98 | 119 | 195 |
| Guaporé | 143 | 120 | 129 | 123 | 144 |
| Içá | 217 | 223 | 264 | 256 | 278 |
| Iriri | 202 | 225 | 201 | 192 | 229 |
| Japurá | 166 | 169 | 198 | 174 | 198 |
| Javari | 184 | 248 | 288 | 274 | 338 |
| Ji-Paraná | 201 | 254 | 249 | 233 | 245 |
| Juruá | 252 | 256 | 255 | 239 | 246 |
| Juruena | 242 | 236 | 206 | 236 | 270 |
| Jutái | 258 | 222 | 241 | 243 | 245 |
| Madeira | 255 | 266 | 273 | 254 | 253 |
| Mamoré | 195 | 159 | 162 | 130 | 146 |
| Marañon | 172 | 198 | 238 | 216 | 257 |
| Marg Esq (AM) | 169 | 186 | 176 | 185 | 209 |
| Marg Esq (PA) NE | 80 | 88 | 93 | 132 | 167 |
| Marg Esq (PA) NW | 79 | 95 | 92 | 126 | 132 |
| Napo | 157 | 208 | 258 | 231 | 241 |
| Negro | 176 | 206 | 219 | 185 | 186 |
| Purus | 277 | 282 | 287 | 244 | 244 |
| Solimões | 240 | 233 | 242 | 235 | 242 |
| Tapajós | 179 | 204 | 189 | 205 | 233 |
| Tefé | 254 | 277 | 306 | 312 | 290 |
| Teles Pires | 191 | 213 | 222 | 241 | 267 |
| Ucayali | 187 | 215 | 260 | 249 | 271 |
| Xingu | 165 | 182 | 174 | 180 | 199 |

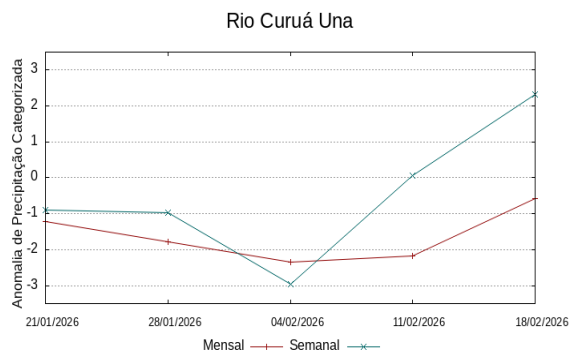
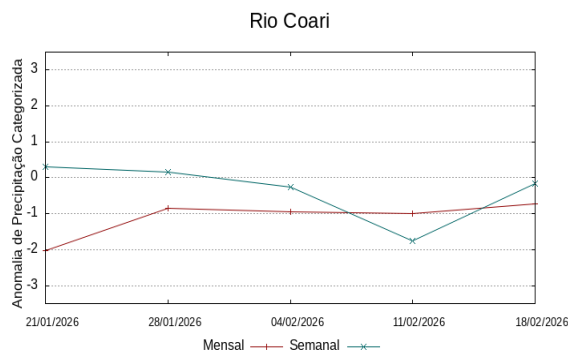
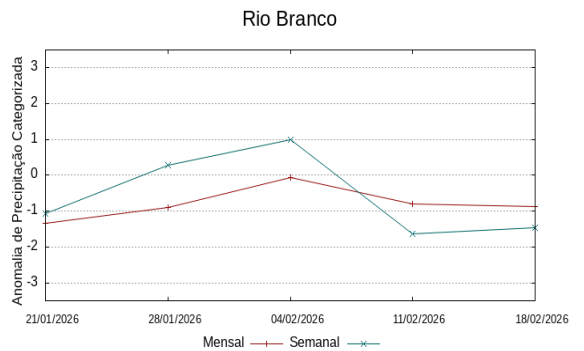
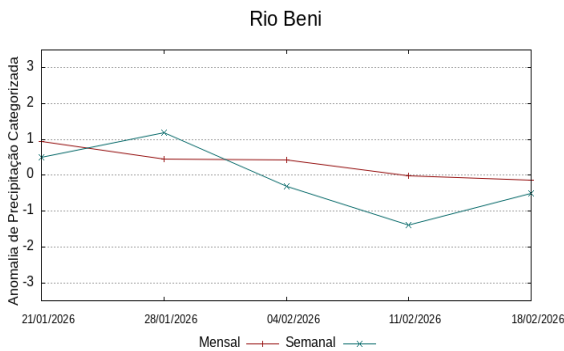
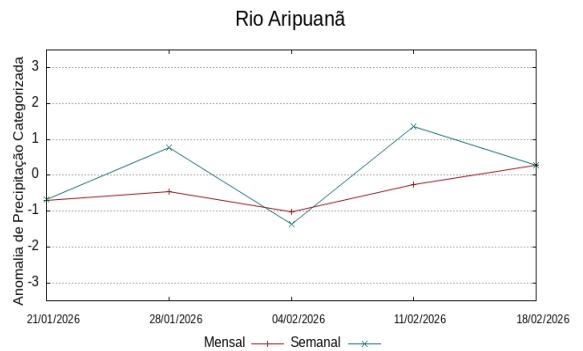
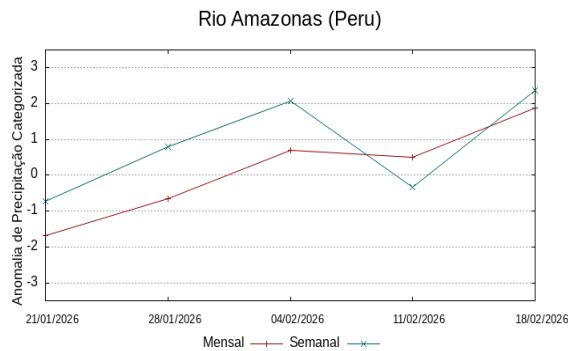
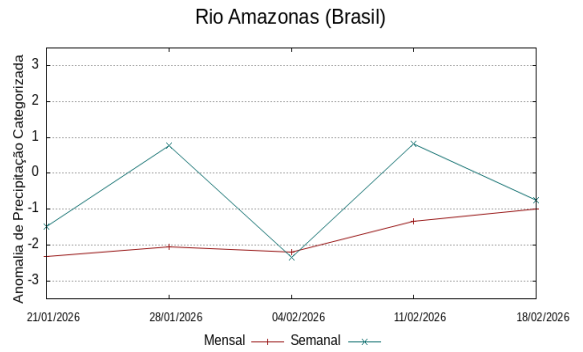
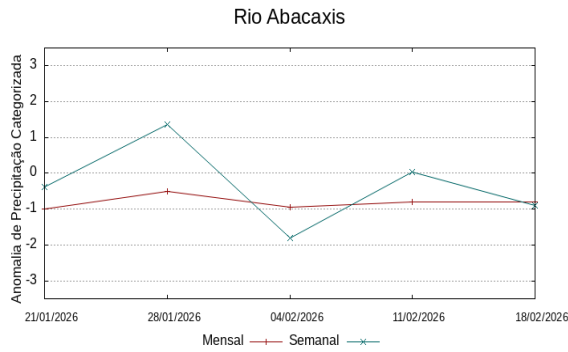
Tabela 2A. Precipitação acumulada em 30 dias (mm), de dados MERGE/GPM – INPE/CPTEC.

| | Anomalia categorizada média na bacia | | | | |
|------------------|--------------------------------------|------------|------------|------------|------------|
| | 21/01/2026 | 28/01/2026 | 04/02/2026 | 11/02/2026 | 18/02/2026 |
| Abacaxis | -1.0 | -0.5 | -0.9 | -0.8 | -0.8 |
| Amazonas (BR) | -2.3 | -2.1 | -2.2 | -1.3 | -1.0 |
| Amazonas (PE) | -1.7 | -0.7 | 0.7 | 0.5 | 1.9 |
| Aripuanã | -0.7 | -0.5 | -1.0 | -0.3 | 0.3 |
| Bení | 0.9 | 0.5 | 0.4 | 0.0 | -0.1 |
| Branco | -1.3 | -0.9 | -0.1 | -0.8 | -0.9 |
| Coari | -2.0 | -0.9 | -1.0 | -1.0 | -0.7 |
| Curuá Una | -1.2 | -1.8 | -2.3 | -2.2 | -0.6 |
| Guaporé | -1.6 | -2.2 | -1.6 | -1.8 | -1.5 |
| Içá | -0.6 | -0.4 | 0.6 | 0.5 | 0.8 |
| Iriri | -0.9 | -0.7 | -1.4 | -1.6 | -1.1 |
| Japurá | -0.8 | -0.3 | 0.3 | -0.5 | 0.1 |
| Javari | -1.9 | -0.6 | 0.3 | 0.1 | 1.1 |
| Ji-Paraná | -1.1 | 0.1 | -0.1 | -0.4 | -0.2 |
| Juruá | -0.2 | 0.1 | -0.1 | -0.4 | -0.4 |
| Juruena | -0.5 | -0.7 | -1.3 | -0.7 | -0.1 |
| Jutái | -1.1 | -1.3 | -1.3 | -1.5 | -1.5 |
| Madeira | 0.1 | 0.4 | 0.4 | 0.0 | -0.2 |
| Mamoré | -0.9 | -1.7 | -1.5 | -2.1 | -2.0 |
| Marañon | 0.5 | 1.1 | 1.8 | 1.3 | 1.9 |
| Marg Esq (AM) | -0.3 | 0.1 | -0.2 | -0.3 | -0.1 |
| Marg Esq (PA) NE | -2.2 | -2.2 | -2.4 | -1.8 | -1.2 |
| Marg Esq (PA) NW | -1.8 | -1.6 | -1.8 | -1.3 | -1.5 |
| Napo | -1.3 | 0.2 | 1.1 | 0.6 | 0.8 |
| Negro | -0.4 | 0.6 | 0.8 | -0.2 | 0.0 |
| Purus | 0.0 | 0.1 | 0.1 | -0.9 | -1.0 |
| Solimões | -0.7 | -0.5 | -0.5 | -0.8 | -0.6 |
| Tapajós | -1.4 | -1.1 | -1.6 | -1.5 | -1.1 |
| Tefé | -0.9 | -0.2 | 0.4 | 0.3 | 0.4 |
| Teles Pires | -1.8 | -1.3 | -1.1 | -0.7 | -0.4 |
| Ucayali | 0.0 | 0.8 | 1.7 | 1.4 | 1.7 |
| Xingu | -1.6 | -1.4 | -1.7 | -1.7 | -1.3 |

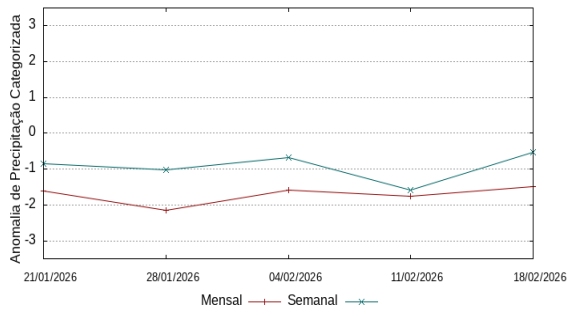
Tabela 2B. Anomalia Categorizada Precipitação por quantis.

Comportamento das anomalias 07 e 30 dias observado nas semanas anteriores

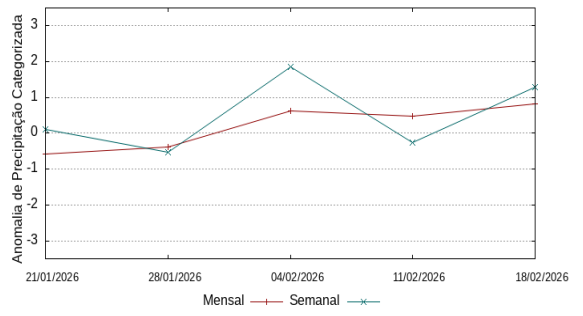
Os gráficos a seguir ilustram o comportamento do índice das anomalias de precipitação nas últimas semanas, linhas vermelhas mostram o comportamento de períodos de 30 dias e linhas em azul o comportamento em relação a períodos de 7 dias, atualizados semanalmente.



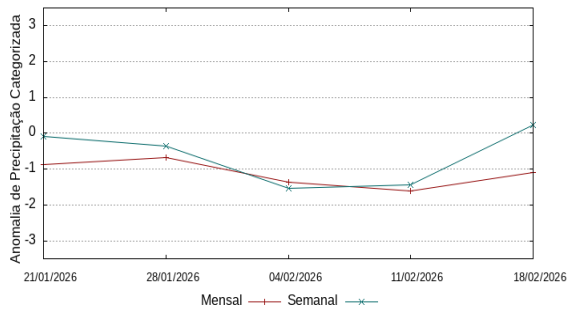
Rio Guaporé



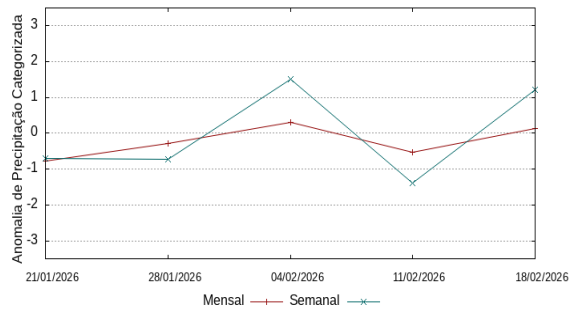
Rio Içá



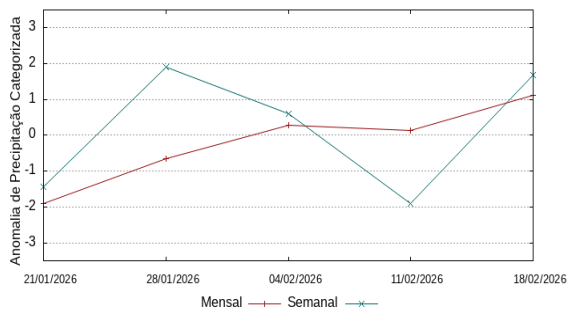
Rio Iriri



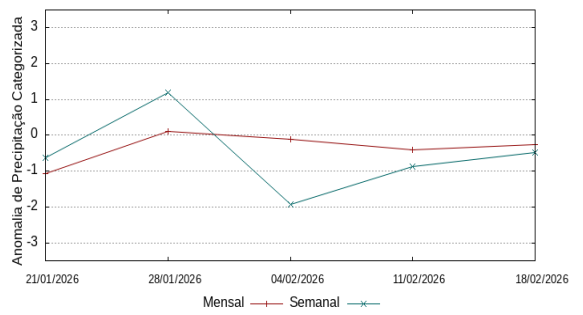
Rio Japurá



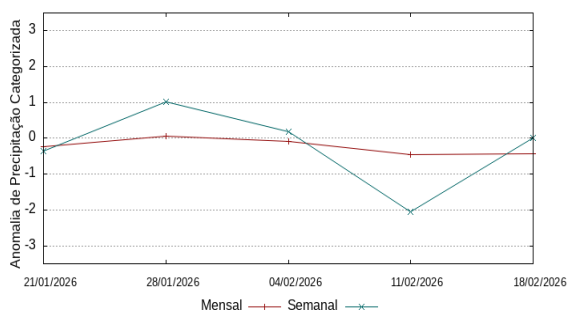
Rio Javari



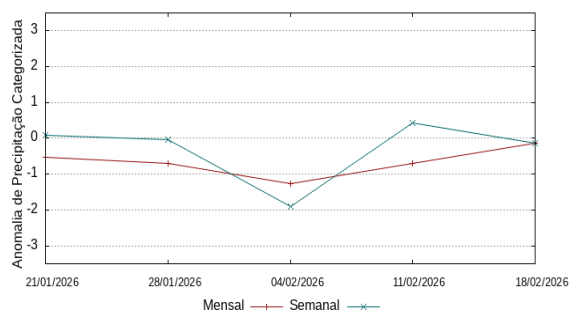
Rio Ji-Paraná



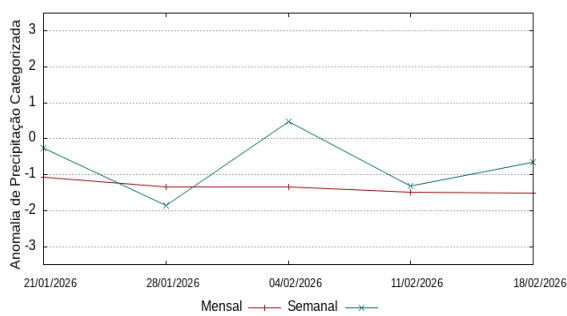
Rio Juruá



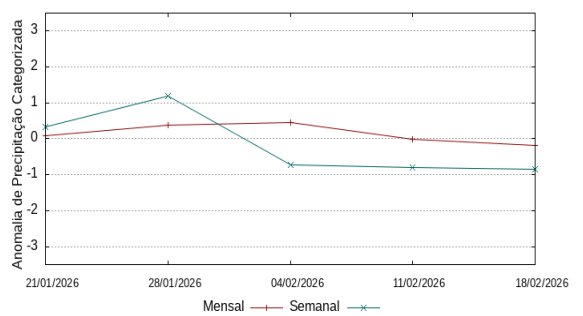
Rio Juruena

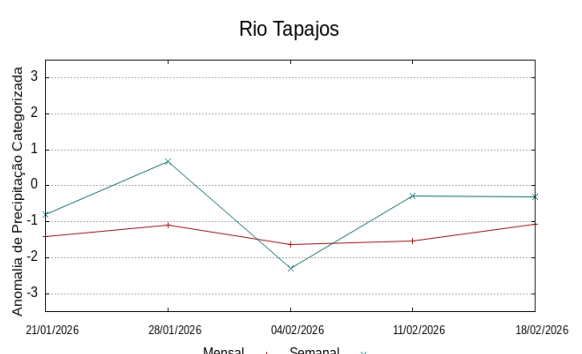
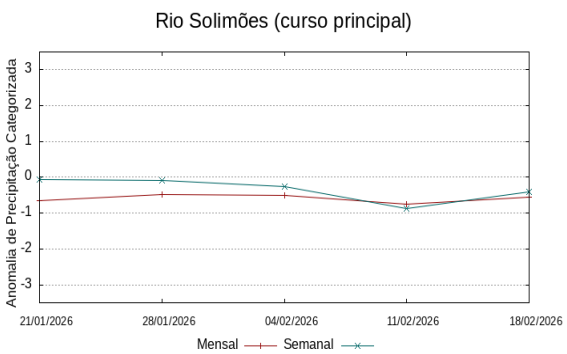
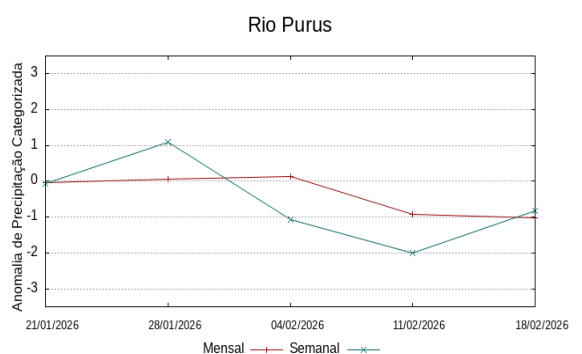
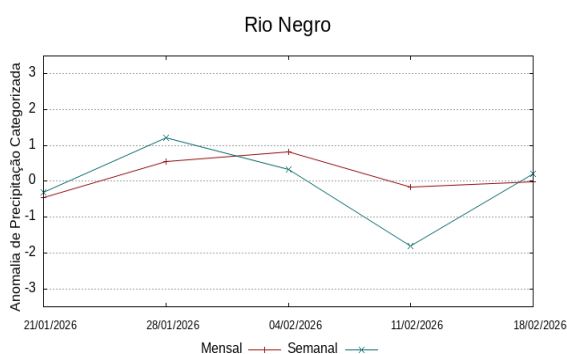
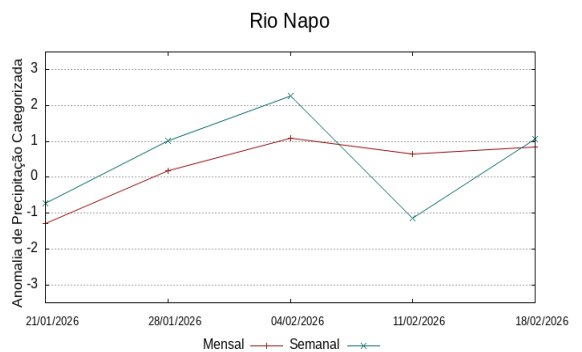
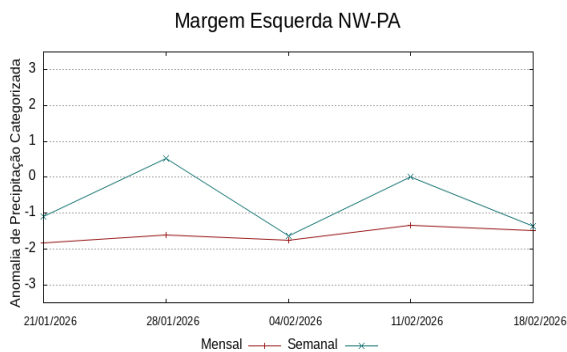
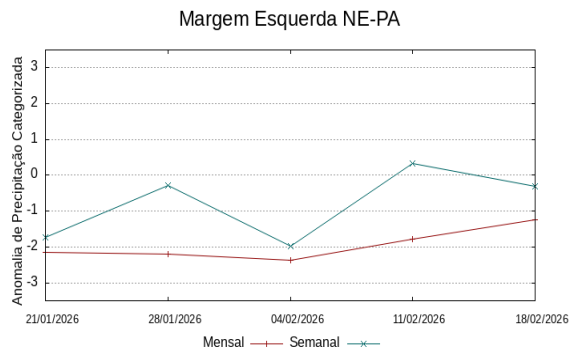
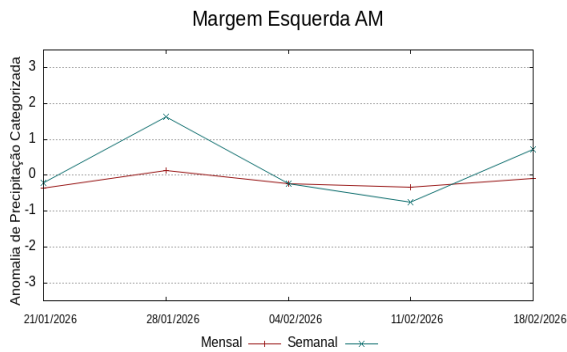
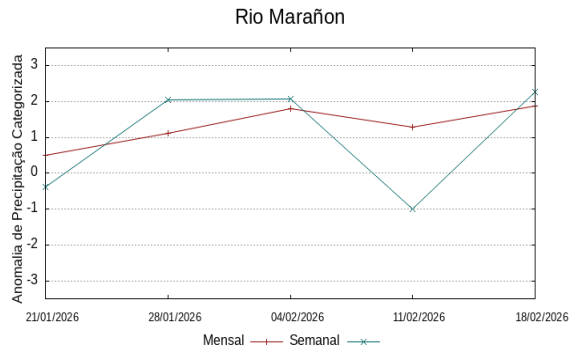
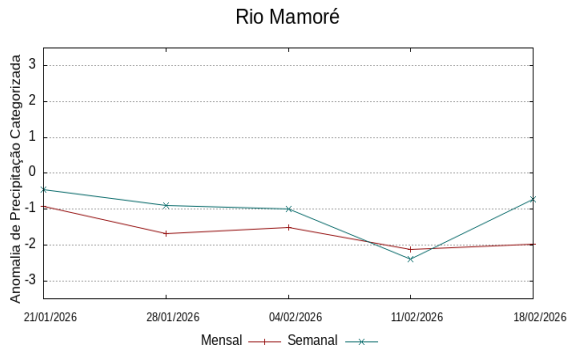


Rio Jutá



Rio Madeira





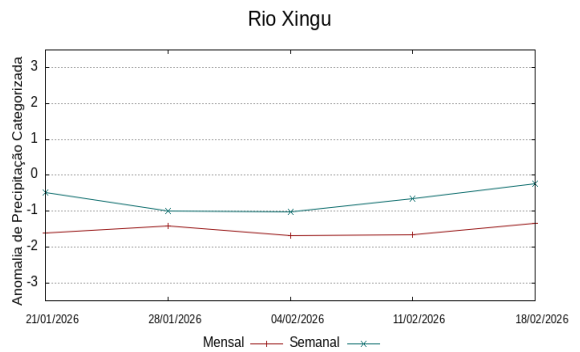
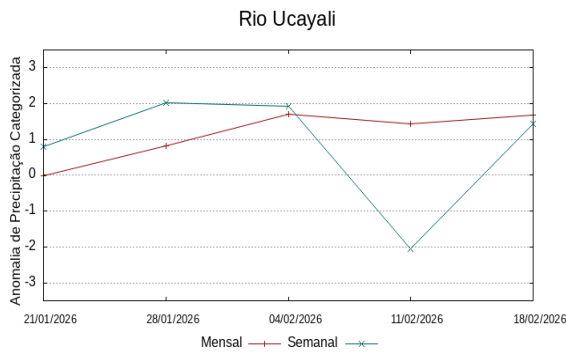
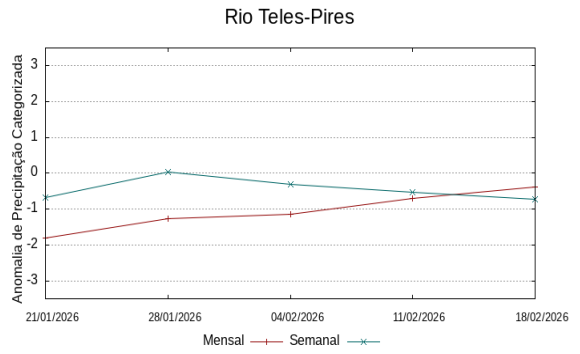
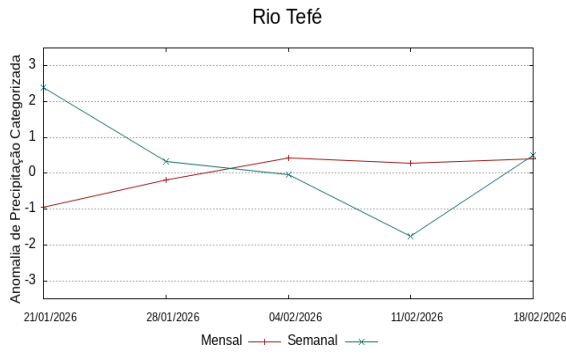
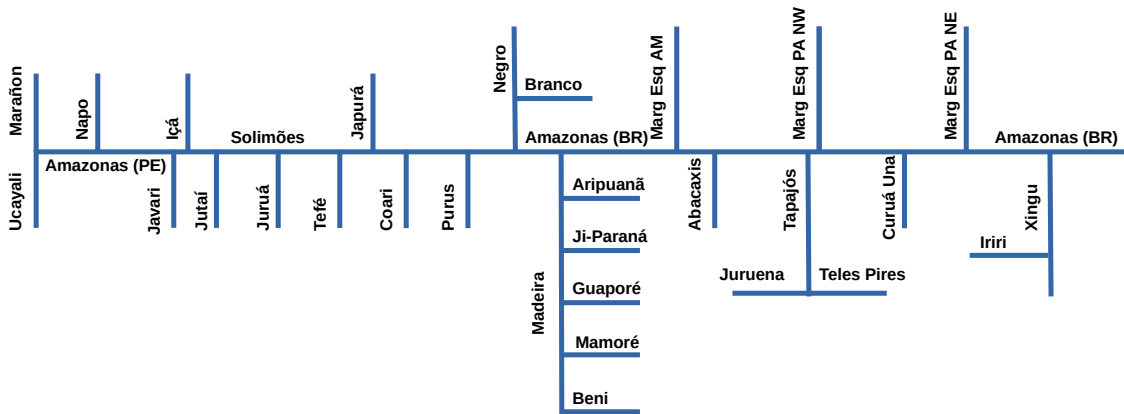


Diagrama unifilar das bacias representadas



Renato Cruz Senna

Pesquisador - CODAM

Meteorologista, CREA-AM 2880-D

Registro Nacional 040459935-4

Fone de contato +55 92 3643 3170

